

## 5.3.4. Lineare Filter:

Betrachte Vektor  $v$ , dessen Komponenten wieder diskrete Werte einer Funktion oder eines Bildes darstellen (Sampling).

Zunächst 1-dimensional.

Wir *filtern* diesen Vektor, indem wir jede Komponente ersetzen durch eine gewichtete Kombination der Nachbarkomponenten.

So entspricht die *Maske*:

$$\frac{1}{4} [1 \quad 2 \quad 1] \quad \text{der Operation} \quad v_j = \frac{v_{j-1} + 2v_j + v_{j+1}}{4},$$

bzw. der Matrixmultiplikation

$$v \rightarrow \frac{1}{4} \begin{pmatrix} \blacksquare & 2 & 1 & & & \\ & 1 & 2 & 1 & & \\ & & \ddots & \ddots & \ddots & \\ & & & 1 & 2 & 1 \\ & & & & 1 & 2 \\ & & & & & \blacksquare \end{pmatrix} \cdot v$$

Vorsicht am Rand! Fehlende Werte haben Einfluß auf Messwerte!  
 Man benötigt Annahmen für  $v_0$  und  $v_{n+1}$ . Was ist sinnvoll?

Im zwei-dim. entspricht dies z.B. der Maske

$$\frac{1}{8} \begin{bmatrix} 0 & 1 & 0 \\ 1 & 4 & 1 \\ 0 & 1 & 0 \end{bmatrix} \rightarrow v_{i,j} = \frac{v_{i,j-1} + v_{i-1,j} + 4v_{i,j} + v_{i,j+1} + v_{i+1,j}}{8},$$

Genauso Gaussfilter:

$$\frac{1}{16} \begin{bmatrix} 1 & 2 & 1 \\ 2 & 4 & 2 \\ 1 & 2 & 1 \end{bmatrix}$$

Dies entspricht glättenden Filtern, die zu einem weicherem Bild führen:

Mittelwertfilter, Glätter, Weichzeichner, oder Tiefpassfilter zur Abschwächung von Rauschen, bzw. hochfrequenten Anteilen. *Hochfrequente Störungen, die einzelne Komponente verändern, werden durch die Mittelwertbildung verringert!*

Entsprechend kann man Hochpassfilter definieren, die die Unterschiede hervorheben, das Bild härter machen und niederfrequente (glatte) Anteile abschwächen (Differenzfilter, Scharfzeichner).

z.B. Laplacefilter:  
(Sobelfilter)

$$\begin{bmatrix} 0 & -1 & 0 \\ -1 & 4 & -1 \\ 0 & -1 & 0 \end{bmatrix}, \quad \begin{bmatrix} 0 & -1 & 0 \\ -1 & 0 & 1 \\ 0 & 1 & 0 \end{bmatrix}$$

Bisher entsprechen die Methoden einer *Filterung im Ortsraum*.  
Im Gegensatz dazu kann man auch *Filter im Phasenraum*  
(Frequenz~) zum Entfernen von Rauschen (Noise) verwenden:

$$v \rightarrow \text{DFT}(v) \rightarrow \text{Filter} \rightarrow \text{IDFT}(v)$$

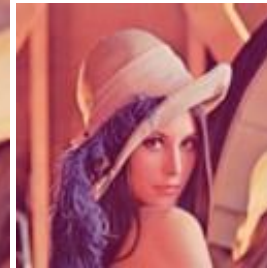
Also Transformation in (Fourier-)Koeffizientenraum,  
dann Filtern der Koeffizienten = Gewichten/Löschen,  
dann Rücktransformation (vgl. MP3)  
Hochpassfilter, Tiefpass, Filterband,...

# Filtern eines Bildes:

Original

Mittelwertfilter

Reduktion



Differenzfilter

Reduktion

Betrachte **Kombination** von Tiefpassfilter und Hochpassfilter im 1-Dimensionalen zu Masken

$$\begin{bmatrix} 1 & 1 \end{bmatrix} / 2 \quad \text{und} \quad \begin{bmatrix} 1 & -1 \end{bmatrix} / 2$$

Ersetze den ursprünglichen Vektor verlustfrei durch tief-, bzw. hochpass-gefilterte Vektoren halber Länge (down sampling):

$$\begin{pmatrix} v_t \\ v_h \end{pmatrix} = \frac{1}{2} \begin{pmatrix} 1 & 1 & & & & \\ & & 1 & 1 & & \\ & & & & \ddots & \ddots \\ 1 & -1 & & & & \\ & & 1 & -1 & & \\ & & & & \ddots & \ddots \end{pmatrix} \cdot v$$

oder

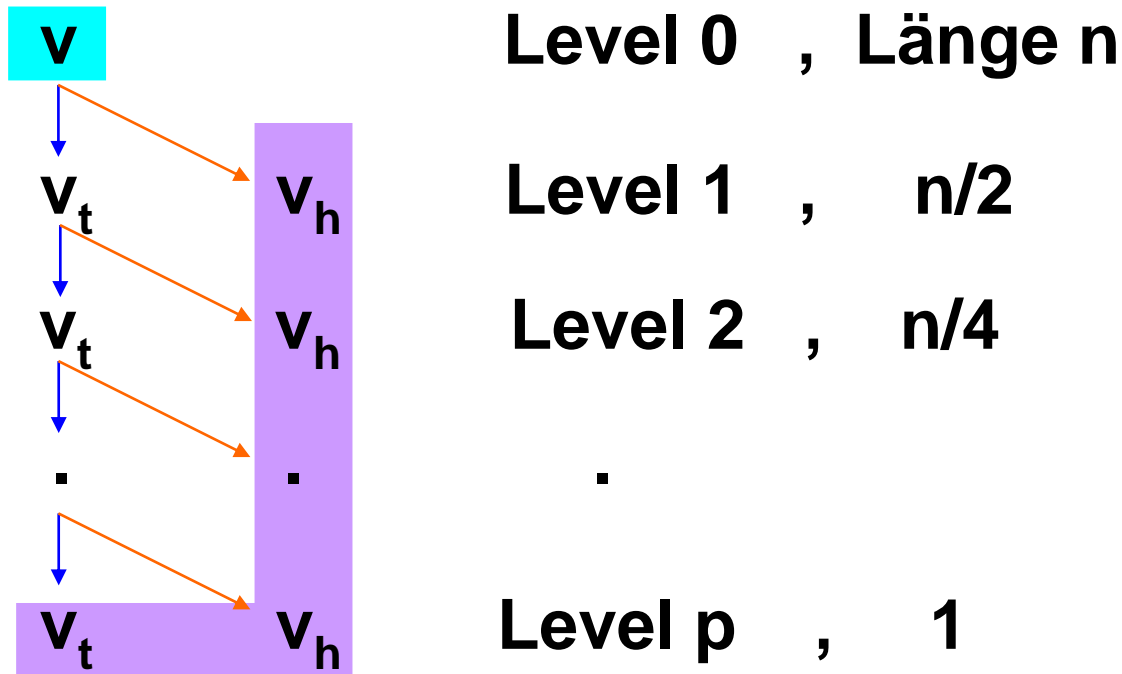
$$\frac{1}{2} \begin{pmatrix} \boxed{\begin{matrix} 1 & 1 \\ 1 & -1 \end{matrix}} & & & & \\ & \boxed{\begin{matrix} 1 & 1 \\ 1 & -1 \end{matrix}} & \cdots & & & \\ & & \ddots & \ddots & & \\ & & & \ddots & \ddots & \\ & & & & \boxed{\begin{matrix} 1 & 1 \\ 1 & -1 \end{matrix}} & \end{pmatrix} \cdot v$$

(nur anders sortiert)

Der Differenzanteil  $v_h$  ist in der Regel klein und wird nicht weiterbearbeitet!

Der Mittelwertanteil (tiefpassgefiltert)  $v_t$  wird nach demselben Schema weiteraufgespalten wiederum in Tief/Hochpassanteil durch dieselben Masken.

Insgesamt:



Ersetze nun den Ausgangsvektor  $v \in \mathbf{R}^n$  durch den letzten Mittelwertanteil auf Level p und sämtliche Differenzanteile  $v_h$ , das sind auch genau n Zahlen.

(  $v_h$  und  $v_t$  entsprechen quasi den Fourierkoeffizienten)



## Vorteile:

Gesamtkosten der Transformation  $O(n)$ ! Warum?  
Differenz-Anteile meist klein  $\rightarrow$  gut komprimierbar

Differenzanteil auf Level  $k$  enthält Information über das Verhalten von  $v$  auf diesem Level, bzw. in dieser Auflösung  
 $\rightarrow$

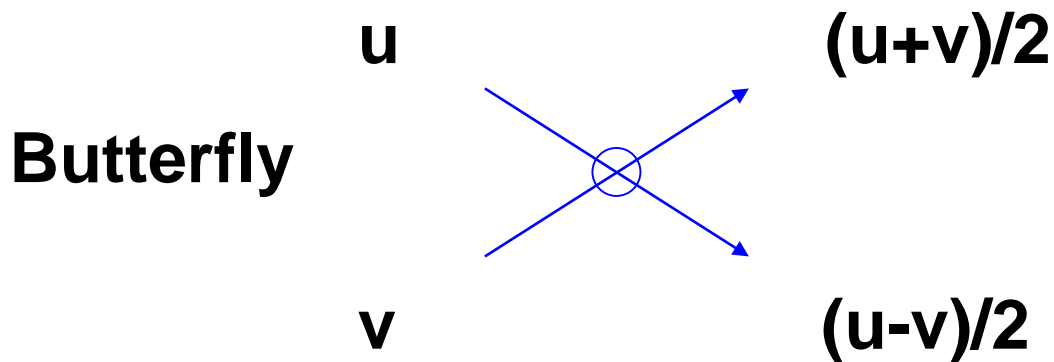
Multiskalenanalyse, Zerlegung des Vektors in verschiedene Frequenzbereiche = Skalen  
Entspricht in etwa der Fourier-Analyse.

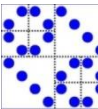
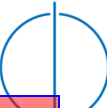
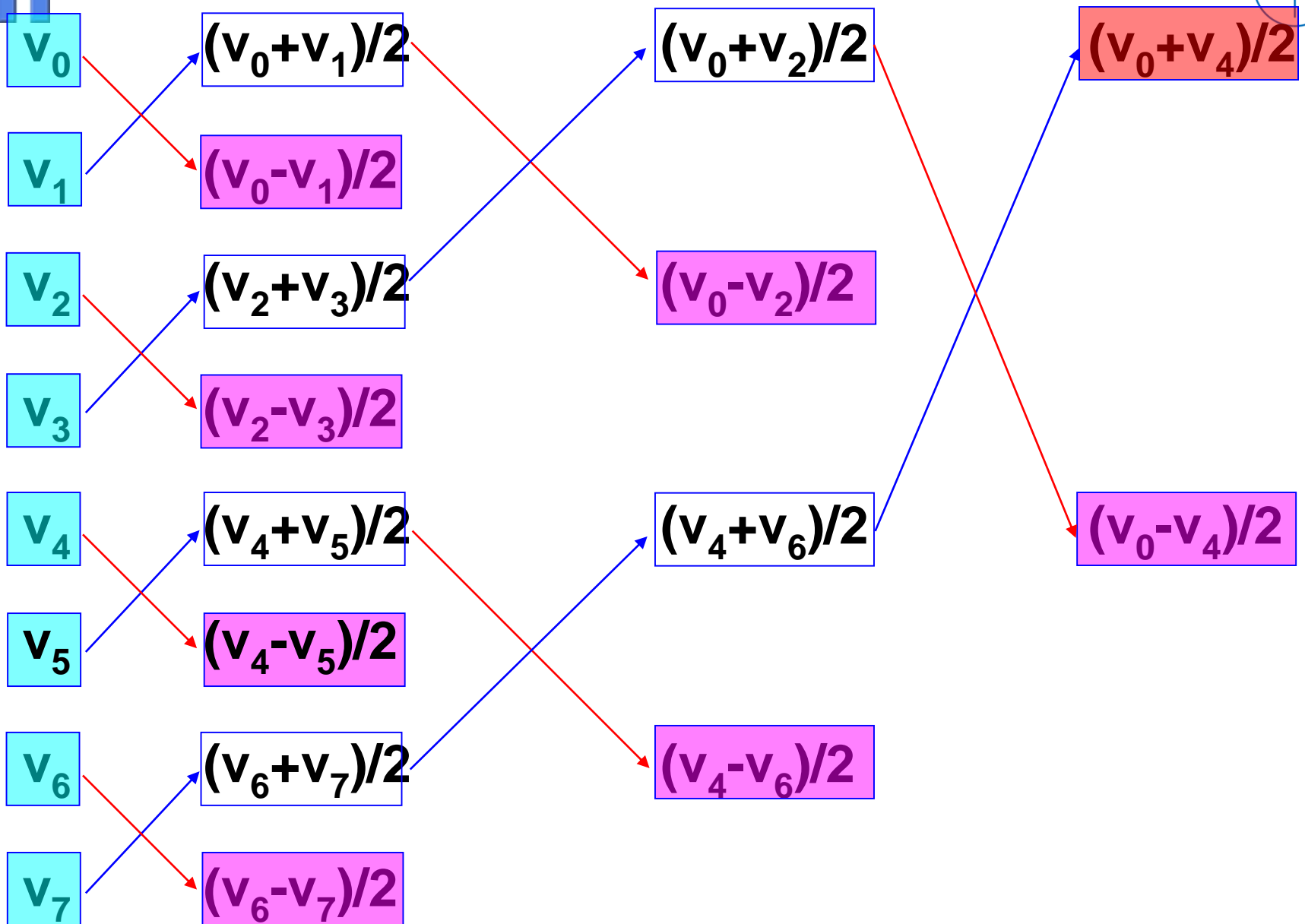
Filter müssen sparse sein damit billig,  
leicht umkehrbar (invertierbar) damit Original rekonstruierbar!  
(vgl. DFT und IDFT)

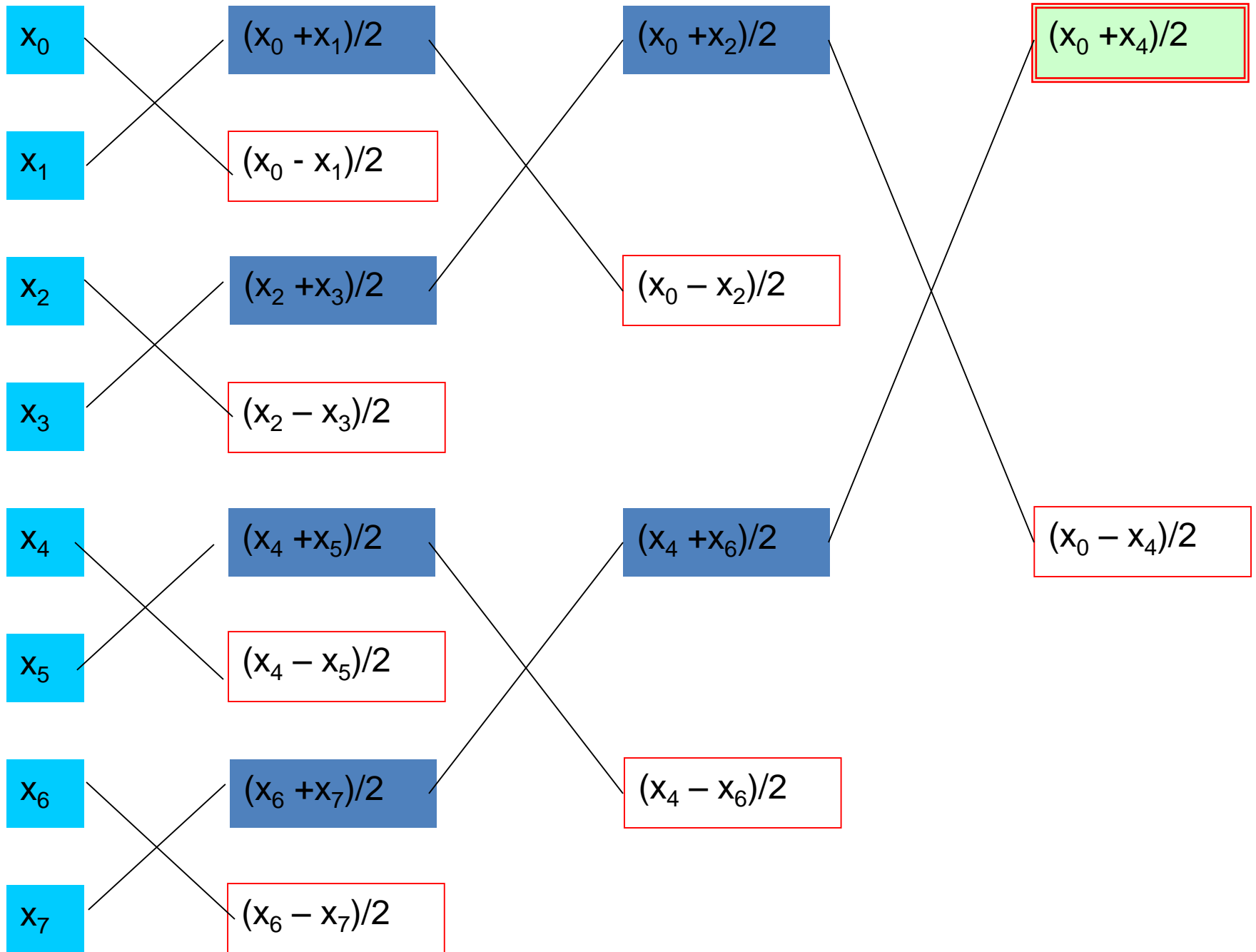
Aufspalten in Frequenzanteil (hoch – tief).

# Algorithmische Ähnlichkeit zur Fourier-Transformation am Beispiel des Haar-Filters mit den Masken

$$\frac{1}{2} \begin{bmatrix} 1 & 1 \end{bmatrix} \quad \text{und} \quad \frac{1}{2} \begin{bmatrix} 1 & -1 \end{bmatrix} :$$







v wird dabei transformiert in alle Differenzanteile und den letzten Mittelwert.

*Unterschied zur DFT:*

*keine Sortierphase,*

*einfacherer Butterfly,*

*nur die Mittelwertanteile werden weiter bearbeitet*

$\rightarrow O(n)$

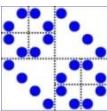
Bessere Filterkombination, z.B. Daubechey-Wavelets

$$\left[ 1 + \sqrt{3} \quad 3 + \sqrt{3} \quad 3 - \sqrt{3} \quad 1 - \sqrt{3} \right] / 4\sqrt{2}$$

Mittelwert-Filter

$$\left[ 1 - \sqrt{3} \quad -3 + \sqrt{3} \quad 3 + \sqrt{3} \quad -1 - \sqrt{3} \right] / 4\sqrt{2}$$

Differenz-filter



Filterkoeffizienten beschreiben rekursiv eine Funktion.

Sie beschreiben den Zusammenhang der Waveletfunktion von einer Skalierung zu einer anderen:

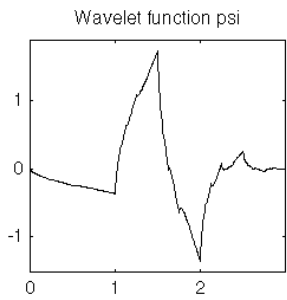
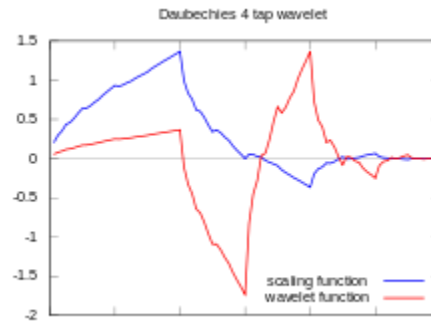
$$\Phi(x) = \sum_k a_k \Phi(2x - k)$$

$$\Phi(2^j x - k), \quad W(2^j x - k)$$

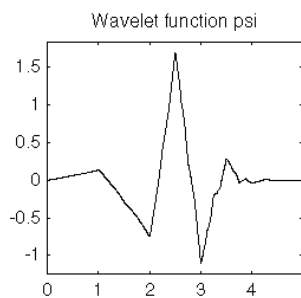
Funktion  $W(x)$  erzeugt Basis, vergleiche  $\cos(x)$ .



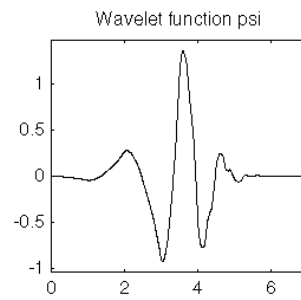
# Daubechies Wavelets (orthogonal)



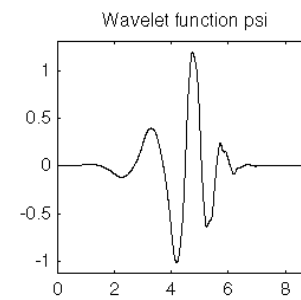
db2



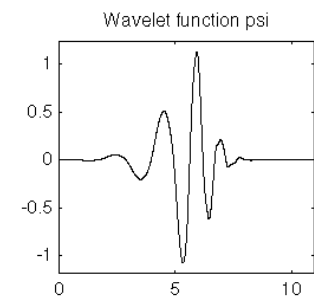
db3



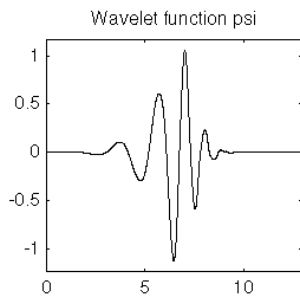
db4



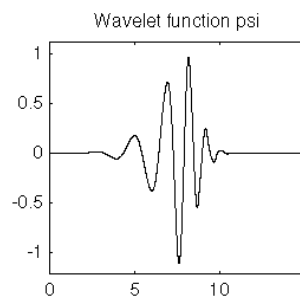
db5



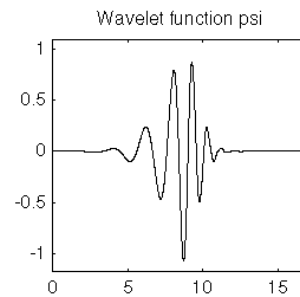
db6



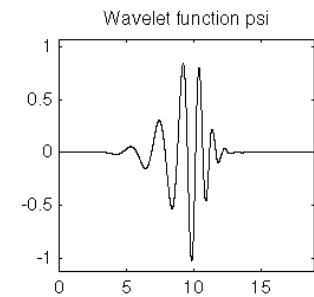
db7



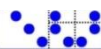
db8



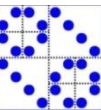
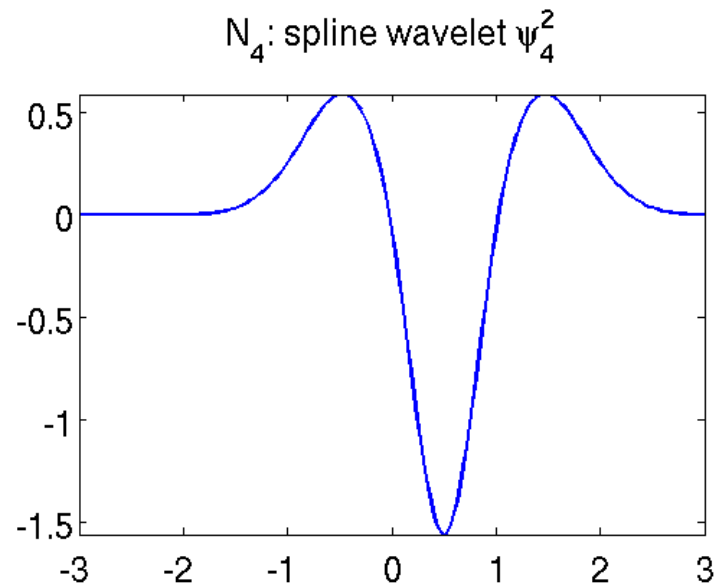
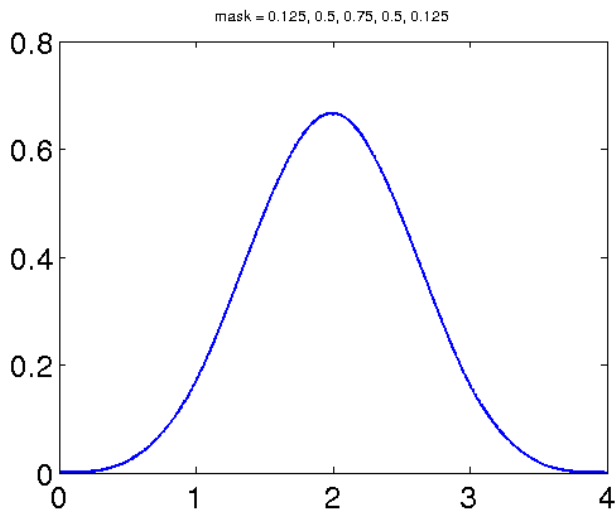
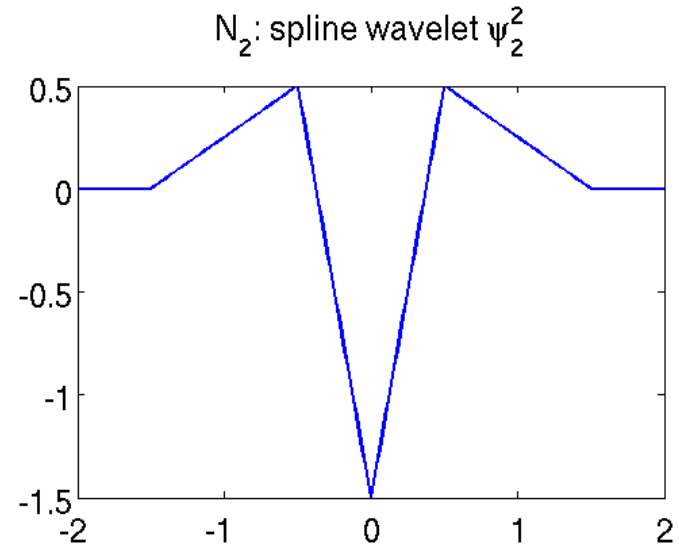
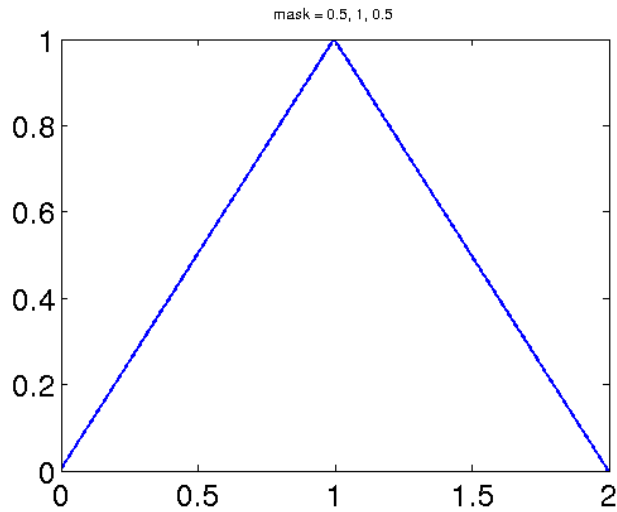
db9



db10



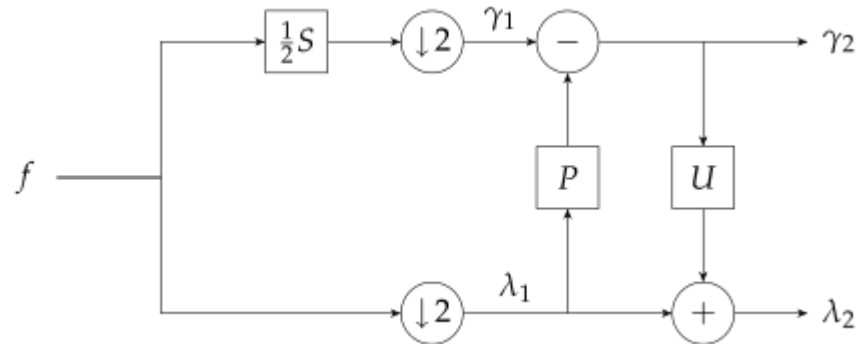
# Spline Wavelets



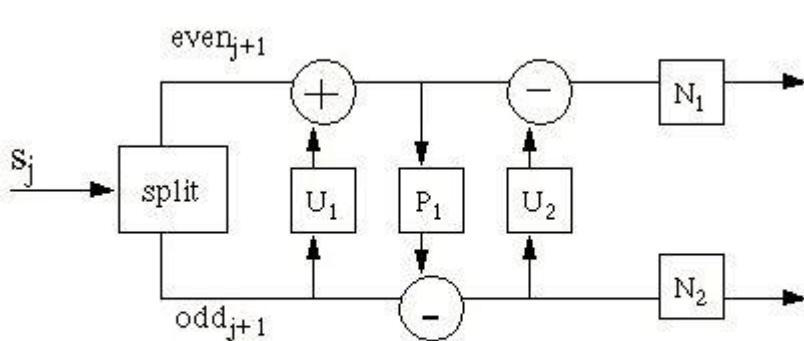




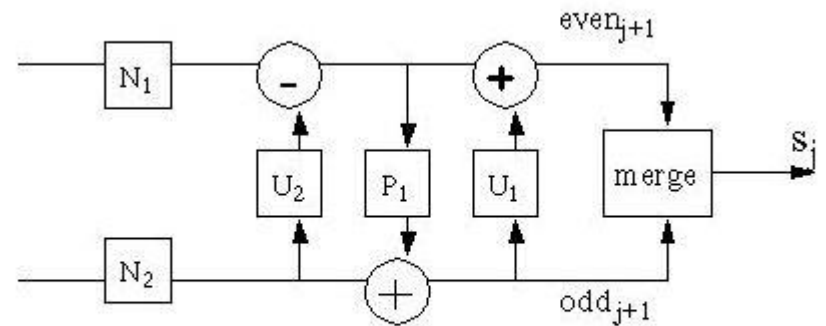
# Lifting Scheme (ohne Funktion)



Splitten in Gerade/Ungerade wie Reißverschluss.  
Dann zwei oder mehr Filteroperationen wie Predictor/Update.  
Vorteil: Leicht umkehrbar.



Daubechies D4 forward wavelet transform



Daubechies D4 inverse wavelet transform

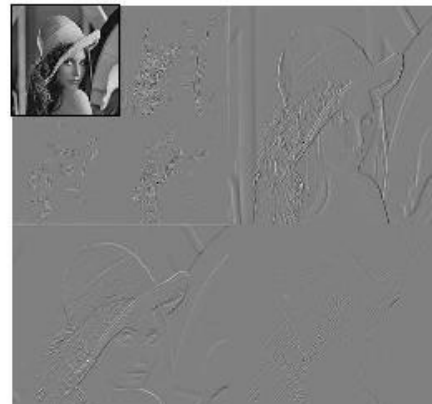
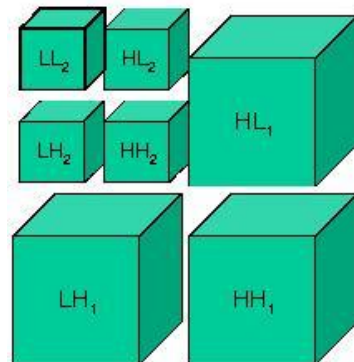
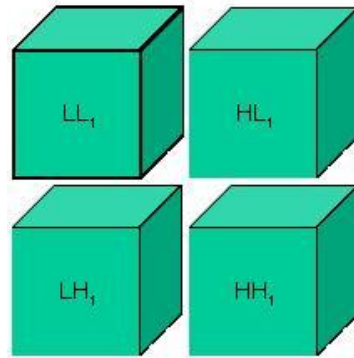
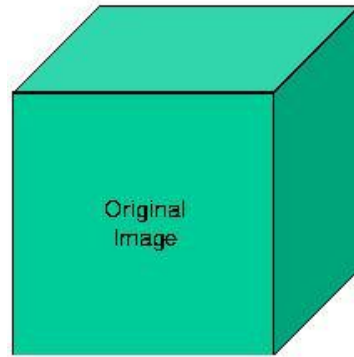
Wavelet als Verschmelzung der  
klassischen Filter und  
Fourieranalyse

mit der Idee

lokaler Basisfunktionen wie bei den B-Splines.

Haar-Filter  $\leftrightarrow$  Haar-Wavelet

- Orthogonale Wavelet,
- biorthogonale Wavelets,
- Frames,
- Lifting Scheme, ...



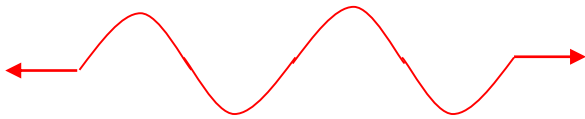


$\cos(kx), \sin(kx)$

Skalierung  $k$

Alle gleichberechtigt

globaler Träger



keine Variations-  
möglichkeit

Kantenproblem

Volle Rekursion

Kosten  $O(n \log(n))$

Frequenz aus

Fourierkoeffizienten



$W(2^jx-m), \Phi(2^jx-m)$

Shift  $m$ , Skalierung  $2^j$

Mittelwert/Differenz

lokaler Träger



Wahl von Approximations-  
güte und Diff'barkeit

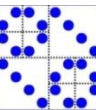
Lokal, adaptiv

Rekursion nur im Mittelwert

Kosten  $O(n)$

Frequenz aus

Waveletkoeffizienten

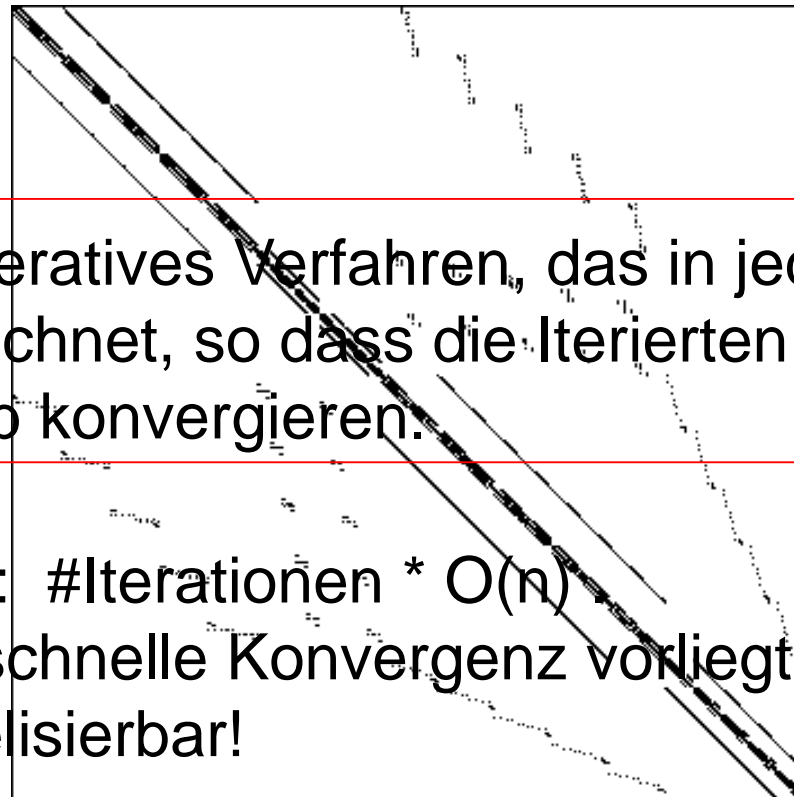


## 6.3. Iterative Lösung linearer Gleichungssysteme

Großes lineares dünnbesetztes Gleichungssystem  $Ax = b$

Gauss-Elimination nutzt in der Regel die Dünnbesetztheit nicht aus und führt meist auf Kosten  $O(n^3)$ ;

Im Gegensatz dazu ist oft nur  $O(n)$  Speicherbedarf für Matrix  $A$



Idee: Formuliere iteratives Verfahren, das in jedem Schritt nur Matrix\*Vektor berechnet, so dass die Iterierten gegen die Lösung von  $Ax = b$  konvergieren.

Gesamtkosten: #Iterationen \*  $O(n)$   
 Effizient, falls schnelle Konvergenz vorliegt!  
 Einfach parallelisierbar!

## 6.3.1. Stationäre Methoden:

### Richardson-Verfahren:

Formulierung eines passenden Fixpunktproblems

$$b = Ax = (A - I)x + x \Leftrightarrow x = b + (I - A)x =: \Phi(x)$$

Daraus ergibt sich die Iteration:

$$x_{k+1} = \Phi(x_k) = b + (I - A)x_k = x_k + (b - Ax_k) = x_k + r_k$$

mit Residuum  $r_k$ .

### Frage:

Wann konvergiert die ausgehend von einem  $x_0$  definierte Folge  $x_k$  gegen die gesuchte Lösung  $\bar{x} = A^{-1}b$  ?

**Betrachte dazu den Fehler im k-ten Schritt:**

$$\bar{x} - x_{k+1} = \bar{x} - x_k - (b - Ax_k) = \bar{x} - x_k - (A\bar{x} - Ax_k) = (I - A)(\bar{x} - x_k)$$

Ergibt in der Norm  $\|\bar{x} - x_{k+1}\|_2 = \|(I - A)(\bar{x} - x_k)\|_2 \leq \|I - A\|_2 \cdot \|\bar{x} - x_k\|_2$

und daher  $\|\bar{x} - x_k\|_2 \leq \|I - A\|_2^k \cdot \|\bar{x} - x_0\|_2$

**Daher liegt Konvergenz vor für  $\|I - A\|_2 < 1$ .**

Dies entspricht der Kontraktionsbedingung für die Iterationsfunktion  $\Phi(x)$ :

$$\|\Phi(x) - \Phi(y)\|_2 \leq \|I - A\|_2 \cdot \|x - y\|_2$$

Richardsonverfahren ist daher nur sinnvoll, wenn  $A \approx I$  !

Wende das Verfahren auf das modifizierte Problem an:

$$D = \text{diag}(A); \quad \boxed{(D^{-1}A)x = (D^{-1}b)} \quad \Leftrightarrow \quad Ax = b$$

Die Bedingung  $D^{-1}A \approx I$  ist besser erfüllt!

$$\text{Bezeichnung: } \tilde{A} = D^{-1}A \quad \text{und} \quad \tilde{b} = D^{-1}b$$

ergibt neues Gleichungssystem  $\tilde{A}x = \tilde{b}$

Richardson für das tilde-System liefert dann:

$$x_{k+1} = x_k + (\tilde{b} - \tilde{A}x_k) = x_k + D^{-1}(b - Ax_k) \quad \text{oder}$$

$$Dx_{k+1} = Dx_k + (b - Ax_k) = b + (D - A)x_k$$

Dies ist das **Jacobiverfahren** zur iterativen Lösung von  $Ax = b$



Wesentliche Kosten in jedem Schritt:  $Ax_k$

Konvergent, falls  $\|I - D^{-1}A\|_2 < 1$

*Notwendig: Diagonalmatrix  $D$  regulär!*

Allgemeinere Idee zur Formulierung einer Iterationsfunktion:

## Matrix-splitting

$L$ : Unterdiagonalteil von  $A$

$U$ : Oberdiagonalteil von  $A$

$$b = Ax = (L + D + U)x = (L + D)x + Ux$$

führt auf Iteration

$$\begin{aligned}(L + D)x_{k+1} &= b - Ux_k = b - (A - L - D)x_k \\ &= (L + D)x_k + (b - Ax_k)\end{aligned}$$

Dies ist das Gauss-Seidel-Verfahren

$$\begin{aligned}x_{k+1} &= x_k + (L + D)^{-1} (b - Ax_k) \\ &= (L + D)^{-1} b + \left( I - (L + D)^{-1} A \right) x_k \\ &= (L + D)^{-1} b - (L + D)^{-1} Ux\end{aligned}$$

In jedem Schritt ist dabei nur ein Dreiecksgleichungssystem zu lösen.

Das Verfahren ist konvergent, falls  $\|I - (L + D)^{-1} A\|_2 < 1$

Gauss-Seidel ist äquivalent zu Richardson angewendet auf

$$\left( (L + D)^{-1} A \right) x = \left( (L + D)^{-1} b \right) \quad \Leftrightarrow \quad Ax = b$$

# Gauss-Seidel-Iteration

Versuche immer, die neueste Information zu verwenden!

Jacobi Iteration:

$$a_{jj}x_j^{(k+1)} = b_j - \sum_{m=1}^{j-1} a_{jm}x_m^{(k)} - \sum_{m=j+1}^n a_{jm}x_m^{(k)}$$

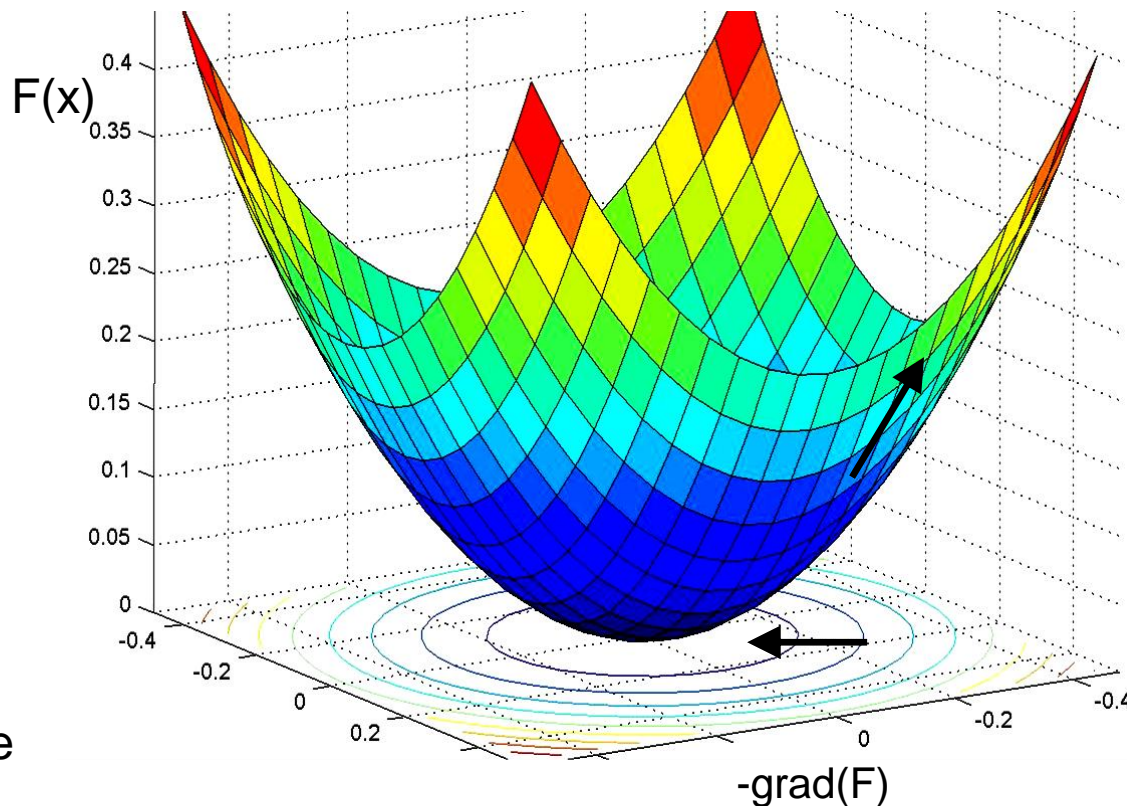
Gauss-Seidel Iteration: bereits berechnet

$$a_{jj}x_j^{(k+1)} = b_j - \sum_{m=1}^{j-1} a_{jm}x_m^{(k+1)} - \sum_{m=j+1}^n a_{jm}x_m^{(k)}$$

**Das Gradientenverfahren für symmetrisch positiv definite Matrix A:**

**Betrachte Funktion  $F(x): \mathbb{R}^n \rightarrow \mathbb{R}$ ,** 
$$F(x) = \frac{1}{2} x^T A x - b^T x$$

F beschreibt einen Paraboloid im  $\mathbb{R}^n$ :



Minimum dieser Funktion ist wieder der Punkt mit waagrechter Tangente, also die Stelle mit Gradient gleich Null:

$$\nabla F(x) = Ax - b = 0 \Leftrightarrow Ax = b$$

Stelle  $x$ , an der der Paraboloid sein Minimum annimmt ist gleich der gesuchten Lösung des Gleichungssystems!

## Betrachte Minimierungsaufgabe!

Von aktueller Stelle  $x_k$  aus soll die nächste Iterierte  $x_{k+1}$  so gewählt werden, dass sie näher am Minimum liegt.

$$x_{k+1} = x_k + \alpha_k d_k$$

mit Suchrichtung  $d_k$  und Schrittweite  $\alpha_k$ .

Finde Suchrichtung so, dass Funktionswerte kleiner werden:

# Abstiegsrichtung ist gegeben durch Richtung des negativen Gradienten!

Denn Richtungsableitung in Richtung  $n$  ist gleich  $\nabla F \cdot n$ , und wird am betragsgrößten für  $n = \nabla F$  nämlich  $\|\nabla F\|^2$

Daher ist  $n = -\nabla F$  lokal die Richtung des steilsten Abstiegs zum Minimum.

Daher verkleinern sich die Funktionswerte auf jeden Fall, wenn man in diese Abstiegsrichtung geht.

Also wähle

$$x_{k+1} = x_k - \alpha_k \nabla F(x_k) = x_k + \alpha_k (b - Ax_k)$$

Noch zu bestimmen ist optimale Schrittweite  $\alpha_k$ , die am nächsten ans Minimum führt!

Betrachte dazu ein-dimensionale Minimierung:

$$\begin{aligned} \min_{\alpha} g(\alpha) &:= \min_{\alpha} \left( F(x_k + \alpha(b - Ax_k)) \right) = \\ \min_{\alpha} &\left( \frac{1}{2} (x_k + \alpha d_k)^T A (x_k + \alpha d_k) - b^T (x_k + \alpha d_k) \right) = \\ \min_{\alpha} &\left( \frac{1}{2} \alpha^2 d_k^T A d_k - \alpha d_k^T d_k + \frac{1}{2} x_k^T A x_k - x_k^T b \right) \end{aligned}$$

mit Lösung  $\alpha_k = d_k^T d_k / d_k^T A d_k$  ,  $d_k := b - Ax_k$

Insgesamt:

$$x_{k+1} = x_k + \frac{\|b - Ax_k\|_2^2}{(b - Ax_k)^T A (b - Ax_k)} \cdot (b - Ax_k)$$

Dazugehörige Fixpunktgleichung ist

$$x = \Phi(x) := x + \frac{\|b - Ax\|_2^2}{(b - Ax)^T A(b - Ax)} \cdot (b - Ax)$$

mit Fixpunkt

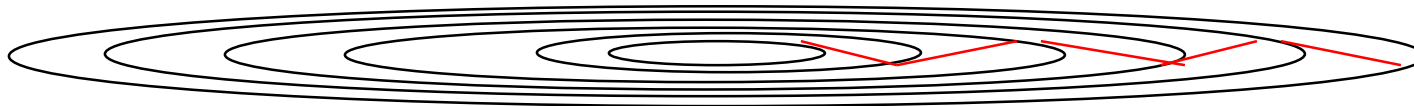
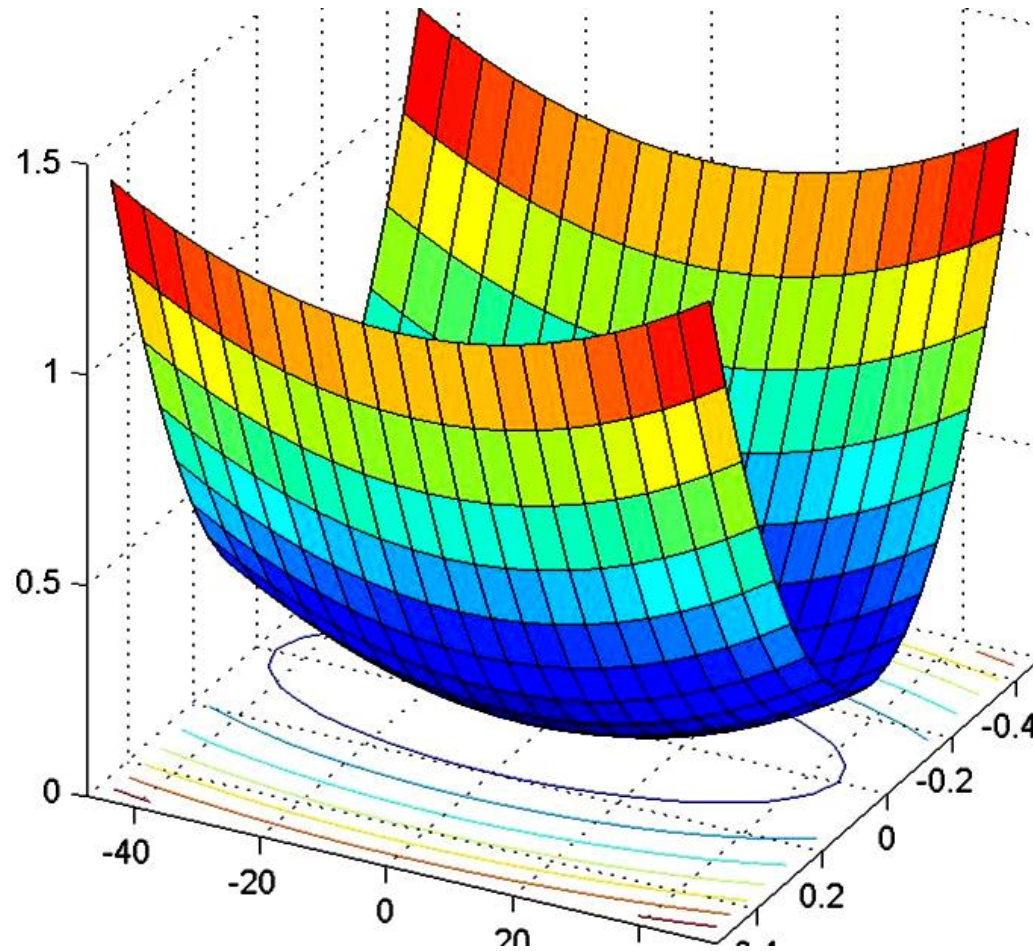
$$\bar{x} = A^{-1}b$$

Ergibt **Verfahren des steilsten Abstiegs** („steepest descent’)  
**oder Gradientenverfahren**

Nachteil:

Bei stark verzerrtem Paraboloiden ergibt sich sehr  
langsame Konvergenz.





Für  $A \approx I$  ist der Paraboloid unverzerrt, die Höhenlinien fast kreisförmig  $\rightarrow$  schnelle Konvergenz!

Daher versucht man,  $Ax=b$  zu präkonditionieren:  
Ersetze  $Ax=b$  durch  $M^{-1}Ax=M^{-1}b$  mit  $M^{-1}A \approx I$

Bessere Variante eines Gradientenverfahren:

**Verfahren der konjugierten Gradienten, kurz cg-Verfahren.**

Suchrichtung nicht der negative Gradient selbst, sondern die Projektion des Gradienten, so dass alle Suchrichtungen in gewisser Weise orthogonal zueinander sind

Genauer: Suchrichtungen seien  $A$ -konjugiert, d.h.

$$d_k^T A d_j = 0 \quad \text{für } j \neq k$$

Damit ergibt sich iteratives Verfahren, das nach  $k$  Schritten jeweils die beste Näherung an die Lösung in einem  $k$ -dimensionalen Unterraum liefert, und daher nach  $n$  Schritten fertig ist (in exakter Arithmetik).

# Conjugate Gradient Method

Bessere Abstiegsrichtung, global optimal:

$x_{k+1} := x_k + \alpha_k p_k$  als neue Suchrichtung an Stelle des Gradienten  
Projektion des Gradienten,  
so dass A-conjugate (orthogonal) zu allen  
vorherigen Suchrichtungen:

$p_k \perp A p_j$  for all  $j < k$  oder  $p_k \perp_A p_j$  oder  $p_k^T A p_j = 0$  für  $j < k$

$\alpha_k$  wieder durch 1-dimensionale Minimierung wie vorher  
(für verwendetes  $p_k$ )

# Conjugate Gradient Algorithm

$$x_0=0; r_0 = b - A x_0 ;$$

$$\text{For } k=1,2,\dots: \quad \beta_{k-1} = r_{k-1}^T r_{k-1} / r_{k-2}^T r_{k-2} ; \quad (\beta_0=0)$$

$$p_k = r_{k-1} + \beta_{k-1} p_{k-1};$$

$$a_k = r_{k-1}^T r_{k-1} / p_k^T A p_k ;$$

$$x_k = x_{k-1} + a p_k ;$$

$$r_k = r_{k-1} - a_k A p_k ;$$

if  $\| r_k \| < \varepsilon$  : STOP

## Eigenschaften des cg-Verfahrens:

Bestimme in Unterraum  $(b, Ab, A^2b, \dots, A^k b)$  die beste Lösung mit minimalem Fehler: Optimal! Daher nach  $n$  Schritten fertig!?

Algorithmus ist billig – in jedem Schritt nur  $Ax$ .

In dieser Form nur möglich für symmetrisch positiv definites  $A$ .

Für allgemeine Matrix:

GMRES (optimal, aber teurer)

BiCG (nicht optimal, aber billig)

Wichtig: Präkonditionierung  $P^*Ax = P^*b$ , Jacobi, Gauss-Seidel



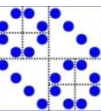
Einfaches Neuronales Netz besteht aus  $n$  Knoten  $N_1, \dots, N_n$ ; jeder Knoten  $N_i$  empfängt ein Eingangssignal  $x_i$ , verstärkt dieses Signal mit einem Faktor  $w_i$  und gibt es an einen gemeinsamen Ausgangsknoten weiter, der alle eingehenden Signale aufsummiert zu

$$y = \sum_{i=1}^n w_i x_i$$

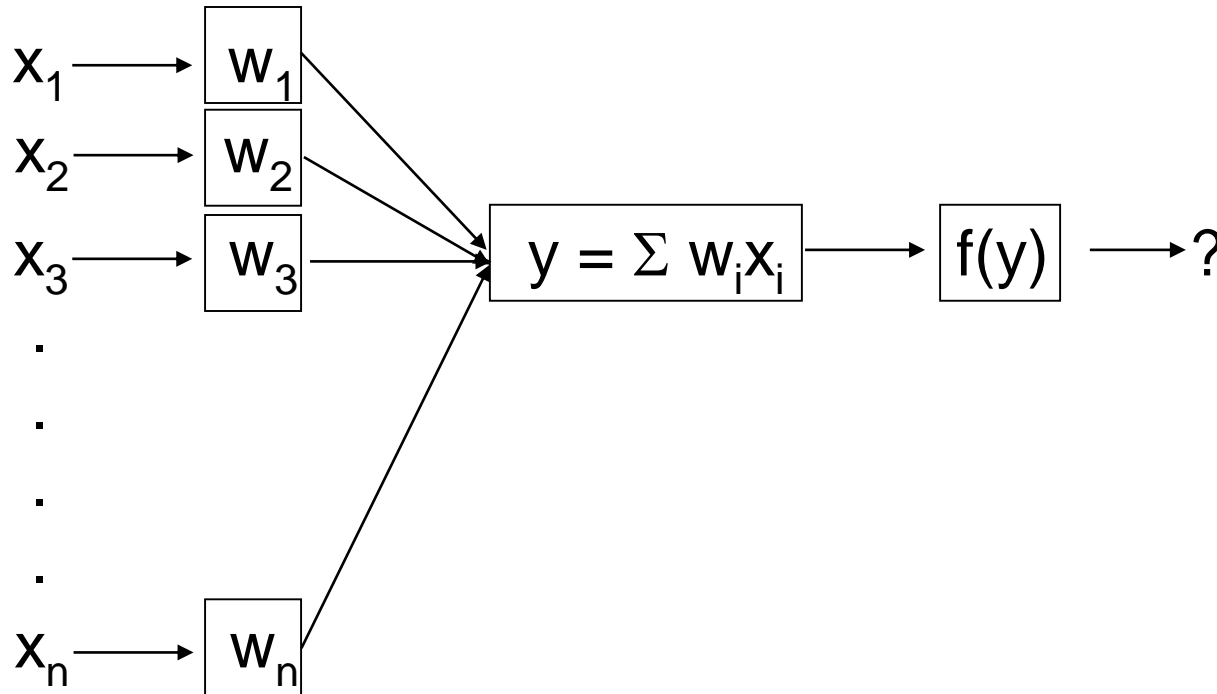
Danach kann der Wert  $y$  noch weiterbearbeitet werden durch eine Funktion  $f(\cdot)$ .

Abhängig von dem sich ergebenden Wert von  $f(y)$  sollen z.B. Ja/Nein-Entscheidungen getroffen werden:

$$f(y) = \begin{cases} 1 & \text{falls } y \geq \alpha \\ 0 & \text{falls } y < \alpha \end{cases} \quad \text{entspricht einer Ja/Nein-Antwort}$$



# Einschichtiges Neuronales Netz:



Wir wollen mit dem NN einen Vorgang modellieren, bei dem für beliebig viele Beispiele  $B_j$  mit Eingabedaten  $x_j$  bekannt ist, welcher Ausgangswert  $y_j$  zu erwarten ist.

$$w = \begin{pmatrix} w_1 \\ \vdots \\ w_n \end{pmatrix}; \quad y = \begin{pmatrix} y_1 \\ \vdots \\ y_m \end{pmatrix}; \quad x^{(j)} = \begin{pmatrix} x_1^{(j)} \\ \vdots \\ x_n^{(j)} \end{pmatrix};$$

Wähle nun die Gewichte  $w$  so, dass

$$\sum_{i=1}^n w_i x_i^{(j)} = w^T x^{(j)} = x^{(j)T} w \approx y_j, \quad \text{für } j = 1, \dots, m.$$

Also versuche, das NN durch Wahl der Gewichte so zu modellieren, dass es zu den gewünschten Ausgabewerten führt. Dies entspricht einem linearen Ausgleichsproblem der Form

$$\min_w \|Xw - y\| \quad \text{mit} \quad X = \begin{pmatrix} x^{(1)T} & \dots & x^{(m)T} \end{pmatrix}$$

Lösung mit Normalgleichung  $X^T X w = X^T y$  oder  
QR-Zerlegung  $X = QR$



## Andere Variante:

Schrittweise iterative Verbesserung der Gewichte bei neuen Beispieldaten:

$x_{neu}$  mit gewünschter Ausgabe  $y_{neu}$  soll möglichst gut erreicht werden.

Annahme: Bisherige Beispiele haben zu Gewichten  $w$  geführt. Einarbeiten der neuen Beispieldaten. Also gesucht:

Nullstelle oder Minimum von  $(y_{neu} - w^T x_{neu})^2 \stackrel{!}{=} 0$

Gradient dieser Funktion in Abhängigkeit von  $w$ :

$$\nabla \left( y_{neu}^2 + (w^T x_{neu})^2 - 2y_{neu} (w^T x_{neu}) \right) = \text{const} * x_{neu}$$

ist Suchrichtung zur Verbesserung der aktuellen Gewichte  $w$ :

$$w_{neu} = w_{alt} + \alpha x_{neu}$$

liefert

$$y = w_{neu}^T x_{neu} = w_{alt}^T x_{neu} + \alpha x_{neu}^T x_{neu} = y_{alt} + \alpha \|x_{neu}\|^2 \stackrel{!}{=} y_{neu}$$

Daher sollte  $\alpha = \frac{y_{neu} - y_{alt}}{\|x_{neu}\|^2}$  gewählt werden.

Da wir aber nur eine kleine Änderung in Richtung des gewünschten Resultats erreichen wollen, und die bisherigen Testbeispiele, die zu dem alten  $w$  geführt haben, nicht vollständig vernachlässigen wollen, definieren wir eine Lernrate  $\eta < 1$  und setzen

$$w_{neu} = w_{alt} + \eta \frac{y_{neu} - w_{alt}^T x_{neu}}{\|x_{neu}\|^2} x_{neu}$$

**Lernregel für NN**, verwandt mit Gradientenverfahren!